



مقایسه و ارزیابی روش‌های برآورد نسبت تحویل رسوب در سه اقلیم متفاوت ایران

عطای صفری: کارشناس ارشد آبخیزداری، دانشگاه علوم کشاورزی و منابع طبیعی ساری، ایران

عطالله کاویان: دانشیار دانشکده منابع طبیعی، دانشگاه علوم کشاورزی و منابع طبیعی ساری، ایران*

محمدحسین فرهودی: کارشناسی ارشد آبخیزداری، دانشگاه علوم کشاورزی و منابع طبیعی ساری، ایران

سعید کریمی: کارشناسی ارشد آبخیزداری، دانشگاه علوم کشاورزی و منابع طبیعی ساری، ایران

وصول: ۱۳۹۱/۵/۲۵ پذیرش: ۱۳۹۲/۷/۹، صص ۲۵۵-۲۷۴

چکیده

نسبت تحویل رسوب یکی از معیارهای مهم مورد استفاده در تبدیل مقدار فرسایش خاک و تولید رسوب به یکدیگر بوده که در بسیاری از موارد زمینه ساز استفاده بهینه از منابع مختلف است. در این تحقیق، ۴۵ روش برآورد نسبت تحویل رسوب، در سه حوزه آبخیز متغیر از لحاظ اقلیم و ویژگی‌های فیزیکی در ایران مورد بررسی و ارزیابی قرار گرفت. حوزه‌های آبخیز مورد مطالعه شامل حوزه آبخیز بابلرود استان مازندران (معرف اقلیم مرطوب و پرپاران شمال کشور)، حوزه آبخیز بنادر سادات استان یزد (معرف اقلیم گرم و خشک ایران مرکزی) و حوزه آبخیز دهگلان استان کردستان (معرف اقلیم نیمه خشک و سرد غرب کشور) بوده که با استفاده از بار رسوبی مشاهده‌ای و اندازه‌گیری شده در خروجی حوزه‌های آبخیز و فرسایش برآورد شده توسط مدل EPM در هر حوزه، یک میزان SDR شاخص تعیین گردید. با استفاده از درصد خطای مطلق و نسبی، روش‌های مختلف برآورد SDR مورد ارزیابی قرار گرفتند. نتایج نشان داد که روش گرافیکی رنفو، سوایف و لیود و SWAT (۲۰۰۵) با حداقل اختلاف نسبی به ترتیب ۲/۲۹، ۳/۳۳ و ۷/۲۱ درصد در حوزه آبخیز بابلرود، روش‌های سوایف و لیود، روئل ۲ و N Shaanxi CHINA با حداقل اختلاف نسبی به ترتیب ۸/۵۹، ۶/۸۷ و ۱۵/۶۷ درصد در حوزه آبخیز بنادر سادات و روش‌های SWAT (۱۹۹۶)، Central & Eastern USA و نانی ۲ با حداقل اختلاف نسبی به ترتیب ۴/۸۵، ۷/۷۹ و ۸/۲۵ درصد در حوزه آبخیز دهگلان، مناسب‌ترین روش‌های برآورد نسبت تحویل رسوب در این تحقیق هستند.

واژه‌های کلیدی: بابلرود، بنادر سادات، دهگلان، نسبت تحویل رسوب.

مقدمه

بار رسوبی در تشخیص منابع آلودگی غیر نقطه‌ای و

همچنین در طراحی و ساخت سازه‌های آبی مانند سدها و مخازن به عنوان یک فاکتور اساسی مطرح است.

کنترل بار رسوبی ورودی به منابع آبی یکی از مهم‌ترین موضوعات مورد بررسی در مدیریت کیفیت آب است.

سیلاب‌ها شده است (نووتنی و اولم، ۱۹۹۴). از طرفی برای توسعه راهکارهای مدیریت خاک و کشاورزی پایدار، کاهش مقدار رسوبات در پایین دست رودخانه‌ها و تشخیص مناطق فرسایشی ضروری است. این نیازها موجب می‌شود که محققان در امر فرسایش و رسوب به مطالعه فرآیندهای تحويل رسوب در داخل حوزه‌های آبخیز و استفاده از مدل‌های توزیع یافته مکانی روی آورند (راشکی، ۲۰۰۶). تحقیقات و بررسی‌های گسترده‌ای در زمینه عوامل مؤثر و برآورد نسبت تحويل رسوب در حوزه‌های آبخیز صورت گرفته است که نهایتاً منجر به ارائه مدل‌های متعددی برای برآورد نسبت تحويل رسوب شده است. آگاهی از روش مناسب محاسبه نسبت تحويل رسوب (SDR) در حوزه‌های آبخیز از اهمیت ویژه‌ای در مباحث حفاظت خاک و آبخیزداری به ویژه برآورد مقادیر فرسایش و رسوب برخوردار است. یکی از چالش‌های مهم در برآورد فرسایش و رسوب با استفاده از چنین روش‌ها و یا مدل‌ها لزوم آگاهی از کارآبی و میزان دقت آنها است.

مانر (۱۹۵۸)، ارزیابی SDR با استفاده از نسبت پستنی و بلندی به طول آبراهه (R/L) را بهتر از سایر روش‌ها بیان نمودهان و همکاران (۱۹۹۴)، تخمین تقریبی نسبت تحويل رسوب را به کمک مساحت در امریکا به شکل منحنی‌هایی ارائه دادند. تخمین فرسایش در این منحنیها بر مبنای USLE استوار بود. فرو و پورتو

بررسی فرسایش خاک و تولید رسوب در حوزه‌های آبخیز برای دستیابی به مدیریت صحیح اراضی و حفظ کمیت و کیفیت آب و خاک از ضروریات اساسی محسوب می‌شود (صادقی و همکاران، ۱۳۸۷). استفاده از نسبت تحويل رسوب در حوزه‌های آبخیز به منظور تبدیل مقادیر اندازه‌گیری و یا تخمينی رسوب به فرسایش خاک برای متخصصان حفاظت خاک و آب ضروری است. حال آن که عملکرد کلیه مدل‌های موجود و استناد به نتایج به دست آمده از آنها به دلیل تفاوت در فرآیند فرسایش خاک و تولید رسوب در آبخیز محل تهیه آنها همواره سؤال برانگیز بوده است (غلامی و همکاران، ۱۳۸۹).

بررسی منابع مختلف در موضوع نسبت تحويل رسوب و روش‌های برآورد آن نشان می‌دهند که این نسبت به طور کلی به دو روش مستقیم و غیرمستقیم برآورد می‌گردد (USDA-SCS، ۱۹۸۱). با توجه به اینکه بار رسوب معمولاً به طور مستقیم برای کل حوزه اندازه‌گیری نمی‌شود در نتیجه روش‌های غیرمستقیم از قبیل استفاده از مدل‌های نسبت تحويل رسوب برای تخمین آن تهیه شده‌اند که دقت عمل آنها بسیار متفاوت است (متووا و کلیک، ۲۰۰۴). امروزه بسیاری از کشورهای جهان به وسیله تخریب اراضی ناشی از فرسایش خاک و رسوب‌گذاری در منابع آبی تهدید می‌شوند. این روند منجر به هدررفت توان تولید خاک، تخریب کیفیت آب و کاهش توان پیشگیری و مهار حوادث طبیعی از قبیل

صابرهمیشگی (۱۳۸۵)، با بررسی برخی مدل‌های برآورد نسبت تحویل رسوب در زیرحوزه لوارک در حوزه آبخیز لیان- تهران، گزارش داده است که به دلیل تجربی بودن تمامی مدل‌های ارائه شده برای برآورد نسبت تحویل رسوب در مقیاس حوزه آبخیز ضرورت دارد مناسب‌ترین روش از طریق آزمون ارزیابی آنها در حوزه آبخیز معرف مشخص و معرفی شود. راشکی (۱۳۸۵)، حوزه کهنوک خاک را برای برآورد **SDR** با استفاده از مدل توزیعی نرخ تحویل رسوب متوسط به سلول‌هایی به ابعاد ۲۰ متر شبکه‌بندی و مقدار آن را ثابت برآورد کرد. ابراهیمی (۱۳۸۵)، با توجه به نتایج حاصل از ارزیابی دو گروه از مدل‌های برآورد یا محاسبه نسبت تحویل رسوب در حوزه آبخیز کورسر- نوشهر با اقلیم معتدل مرطوب اظهار داشته است مدل‌هایی که در آنها بجای عامل مساحت، طول آبراهه اصلی و ارتفاع متوسط حوزه آبخیز از سطح دریا لحاظ شده مدل‌های مناسب هستند. دستورانی و همکاران (۱۳۸۵)، در برآورد نسبت تحویل رسوب در حوزه زیارت گلستان ضمن برآورد **SDR** به این نتیجه رسیدند که استفاده از روابط متکی بر مساحت حوزه دارای دقت کافی نمی‌باشند. نورانی (۱۳۸۵)، با ارزیابی چهار مدل از مدل‌های برآورد نسبت تحویل رسوب در حوزه آبخیز طالقان رود با اقلیم نیمه خشک سرد به این نتیجه رسیده است که مدل ویلیامز- برنت، مناسب‌ترین مدل برای برآورد نسبت تحویل رسوب در حوزه آبخیز طالقان رود و سایر حوزه‌های آبخیز با شرایط اقلیمی

(۲۰۰۰) و فرناندز و همکاران (۲۰۰۳) مدل توزیعی تحویل رسوب به همراه مدل **RUSLE** را برای برآورد میزان رسوب سالانه به کار برداشتند. لو و همکاران (۲۰۰۳)، **SDR** را براساس اصول و قواعد فیزیکی (شبیه‌سازی خطی) دو منبع ذخیره رسوب در حوزه (ذخیره دامنه‌ای و ذخیره شبکه کانالی) مدل کردند و مدل ساده‌ای برای حمل رسوب ارائه دادند. لو و همکاران (۲۰۰۶)، از نسبت تحویل رسوب برای تصحیح اثر کاهش بار رسوبی در خروجی استفاده کردند. نتایج نشان داد که بار رسوبی حوزه‌ها اغلب کمتر از فرسایش خاک اندازه‌گیری شده در پلات‌های دامنه‌ای است و این به دلیل آن است که مدل‌های فرسایش خاک از قبیل **USLE** شدت فرسایش خاک ناخالص در پلات‌ها را بیشتر از شدت‌های اندازه‌گیری شده در خروجی حوزه‌ها تخمین می‌زنند. کینل (۲۰۰۶)، برخی قضایای مرتبط با مدل‌سازی فرسایش و تحویل رسوب از دامنه‌ها را از جنبه کیفیت آب مورد بررسی قرار داد. نتایج نشان داد که در بسیاری از حوزه‌ها مجموع رسوبی که به طور واقعی روی دامنه‌ها نهشین شده بسیار کمتر از مقادیر نشان داده شده توسط **SDR** است. راموس‌شارون و مکدونالد (۲۰۰۷)، در امریکا به این نتیجه رسیدند که بار رسوبی تخمین زده شده به وسیله **SDR** از حوزه‌ای به حوزه دیگر تغییر می‌کند. طبق همین نتایج مقدار بار رسوبی تخمینی برای حوزه‌های با پتانسیل تحویل رسوب متوسط به **SDR** انتخابی حساسیت بالایی نشان می‌دهند. در ایران نیز،

بررسی سوابق نشان می‌دهد که تنوع تحقیقات در زمینه **SDR** در دنیا از گذشته تا به حال مشهود بوده است اما در ایران، نسبتاً جدید و روش‌های متعدد تعیین **SDR** همزمان مورد ارزیابی قرار نگرفته است.

روابط متعددی برای تخمین نسبت تحويل رسوب تهیه شده‌اند که نیاز به داده‌های ورودی متفاوتی از قبیل مساحت حوزه، وضعیت پوشش گیاهی، نوع خاک، حجم رواناب، دبی اوج، شب حوزه و کanal و حتی متغیرهای بارش داشته و به همین دلیل دامنه استفاده و دقت آنها بسته به موجودیت داده‌ها، روش انتخابی و هدف مورد انتظار بسیار متغیر است (فرو و میناکاپیلی، ۱۹۹۵، هان و همکاران، ۱۹۹۴ و روئل، ۱۹۶۲).

هدف از تحقیق حاضر، بررسی و مقایسه ۴۵ روش مختلف برآوردن نسبت تحويل رسوب در سه اقلیم متفاوت در حوزه آبخیز بابلرود (استان مازندران)، بنادرک سادات (استان یزد) و دهگلان (استان کردستان) است. مواد و روش‌ها

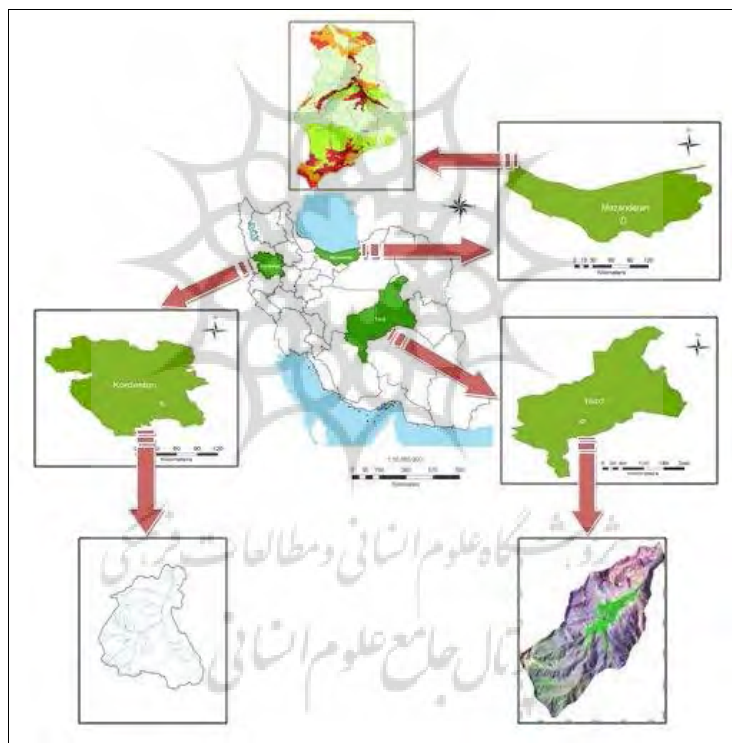
موقعیت مناطق مورد مطالعه

موقعیت جغرافیایی و برخی خصوصیات فیزیکی و اقلیمی هر یک از مناطق مورد مطالعه در جدول ۱ و همچنین موقعیت آنها در ایران و استان در شکل ۱ نشان داده شده است.

مشابه است. صادقی و همکاران (۱۳۸۷)، اختلاف برخی از روش‌های مورد استفاده در برآورد نسبت تحويل رسوب برای رگبار شامل مدل **MUSLE**، مدل مبتنی بر رواناب **SWAT** و روش سرویس جنگل امریکا با مقادیر مشاهده‌ای حاصل از نسبت مقادیر رسوب و فرسایش اندازه‌گیری شده به ترتیب در خروجی حوزه آبخیز و پلاتهای فرسایشی مستقر در سراب حوزه آبخیز چهل‌گزی سد قشلاق را ارزیابی نمودند. نتایج ارزیابی ضمن تأکید بر تغییر زیاد نسبت تحويل رسوب اندازه‌گیری شده طی رگبارها از ۱/۲۶ تا ۸۴/۷ درصد، بر کارایی بیشتر مدل **MUSLE** با ضریب همبستگی ۹۷/۸ درصد دلالت داشته است. افسری و قدوسی (۱۳۹۰)، با ارزیابی روش‌های مختلف تخمین نسبت تحويل رسوب (**SDR**) تحت شرایط آب و هوایی مختلف، اقدام به بررسی ۱۳ روش برآوردن نسبت تحويل رسوب، جهت مقایسه با روش محاسبه آن در مدل **EPM** در دو حوزه آبخیز خمین و مزلقان واقع در استان مرکزی نمودند، همچنین مقادیر فرسایش در دو حوزه مورد مطالعه با استفاده از مدل **EPM** برآورد گردید که نتایج حاصل نشان داد که روش مو و منگ (۱۹۸۰) و روش روئل (۱۹۷۷) به ترتیب با داشتن حداقل اختلاف نسبی در حوزه‌های آبخیز خمین و مزلقان، مناسب‌ترین روش‌ها هستند.

جدول ۱- موقعیت جغرافیایی و خصوصیات فیزیکی و اقلیمی حوزه‌های مورد مطالعه

شیب متوسط (%)	ارتفاع متوسط (m)	متوسط دما (°C)	متوسط بارندگی سالانه (mm)	مساحت (km²)	عرض جغرافیایی	طول جغرافیایی	حوزه مورد مطالعه
۳۴	۱۶۸۶	۱۵	۸۲۱/۸	۵۱۷/۲۵	۳۶° ۲۲' تا ۳۳° ۲'	۵۵° ۵۲' تا ۵۲'	حوزه آبخیز بابلرود
۵۵/۹۲	۲۵۰۱/۸۶	۱۵/۶	۳۱۳	۳۹/۳۲	۳۱° ۳۱' تا ۳۶° ۳۱'	۱۴° ۵۴' تا ۱۰° ۵۴'	حوزه آبخیز بنادرک سادات
۳۲/۵	۲۲۵۰	۹/۷	۵۰۰/۵	۲۲۱/۶۷	۲۵° ۹۷' تا ۱۹° ۳۴'	۲۵° ۴۶' تا ۲۱° ۴۷'	حوزه آبخیز دهگلان



شکل ۱- موقعیت هر یک از حوزه‌های مورد مطالعه در ایران و استان

و در سال ۱۹۹۸ در کنفرانس بین‌الملی رژیم رودخانه توسط گالوریلویچ ارائه شد (ضیایی و بهنیا، ۱۳۸۰). در این روش چهار مشخصه ضریب فرسایش حوزه آبخیز، ضریب استفاده از زمین، ضریب حساسیت

برآورد فرسایش خاک به روش EPM مدل EPM با استفاده از اطلاعات حاصل از قطعه زمین‌های فرسایشی و اندازه‌گیری رسوب پس از ۴۰ سال تحقیقات در کشور یوگسلاوی سابق به دست آمد

درجه حرارت. ایستگاه‌های مطالعاتی و اندازه‌گیری رسوب مشاهده‌ای در این تحقیق، از آمار ایستگاه‌های قران تالار (حوزه آبخیز بابلرود)، طرزجان (حوزه آبخیز بنادک سادات) و دهگلان (حوزه آبخیز دهگلان) جهت تعیین مقادیر رسوب مشاهده‌ای استفاده گردید که در جدول ۲ مشخصات هریک از ایستگاه‌های مورد مطالعه شامل طول و عرض جغرافیایی، ارتفاع، مساحت حوزه بالادست و طول دوره آماری ارائه شده است.

سنگ و خاک به فرسایش و شبیه متوسط حوزه مورد بررسی قرار می‌گیرد. محاسبه میزان فرسایش بر اساس این روش به صورت رابطه ۱ ارائه گردیده است:

$$W_{sp} = T \cdot H \cdot Z^{3/2} \cdot \pi \quad (1)$$

W_{sp} : فرسایش ویژه بر حسب مترمکعب در کیلومترمربع در سال، H : متوسط بارندگی سالانه بر حسب میلی‌متر، Z : ضریب شدت فرسایش، T : ضریب

جدول ۲- مشخصات اصلی ایستگاه‌های مورد استفاده

ردیف	نام ایستگاه	طول جغرافیایی (دقیقه-درجه)	عرض جغرافیایی (دقیقه-درجه)	ارتفاع (m)	مساحت حوزه آبخیز (km^2)	طول دوره آماری (سال)
۱	قران تالار	۵۲-۴۲	۳۶-۲۳	۵۵	۵۱۷/۲۵	۴۳
۲	طرزجان	۵۴-۱۴	۳۱-۳۶	۱۸۸۰	۳۹/۳۲	۱۹
۳	دهگلان	۴۷-۲۵	۳۵-۱۷	۱۸۲۰	۲۲۱/۶۷	۲۳

در این تحقیق در ۵ گروه طبقه‌بندی شده و با در نظر گرفتن شرایط اقلیمی متفاوت در ایران و امکان دسترسی به داده‌ها و اطلاعات لازم، سه حوزه مذکور انتخاب و مورد بررسی و ارزیابی قرار گرفت. روش‌های مورد بررسی در این تحقیق، شامل ۴۵ روش برآورد نسبت تحويل رسوب در ۵ گروه، به شرح زیر می‌باشند:

الف- روش‌های مبتنی بر مساحت حوزه آبخیز:

۱- رنفو (۱۹۷۵)

$$\text{Log}(\text{SDR}) = 1.7935 - 0.4191 \text{ Log}(A) \quad (2)$$

SDR: نسبت تحويل رسوب، A : مساحت حوزه آبخیز بر حسب مایل مربع.

۲- ونانی (۱۹۷۵)

برآورد نسبت تحويل رسوب مقدار رسوب مشاهده‌ای هر یک از حوزه‌های آبخیز مورد مطالعه بر اساس داده‌های اندازه‌گیری شده در ایستگاه‌های رسوب‌سنجی پس از پردازش و تجزیه و تحلیل داده‌ها به روش منحنی سنجه رسوب محاسبه شد. با توجه به اینکه اندازه‌گیری مستقیم میزان فرسایش به صورت میدانی در سه منطقه مورد مطالعه عملاً ممکن نبود، لذا برآورد مقدار کمی فرسایش با استفاده از مدل **EPM** به عنوان مدل مناسب در این تحقیق صورت پذیرفت. سپس با محاسبه نسبت تحويل رسوب با استفاده از روش‌های مشروطه زیر، اقدام به ارزیابی آنها بر اساس روش مقایسه تطبیقی و اختلاف نسبی شد. لازم به ذکر است که ۴۵ روش مورد استفاده

<p>SDR: نسبت تحویل رسوب، A: مساحت حوزه آبخیز بر حسب کیلومتر مربع.</p> <p>ب- روش‌های مبتنی بر ویژگی‌های ژئومورفولوژی حوزه آبخیز:</p> <p>۹- ویلیامز و برنت (۱۹۷۲)</p>	$SDR = 0.42 A^{-0.125}$ (۳)
<p>SDR: نسبت تحویل رسوب، A: مساحت حوزه آبخیز بر حسب مایل مربع.</p>	
<p>۳- ونانی ۲ (۱۹۷۵)</p>	
<p>SDR: نسبت تحویل رسوب، SLP: شب آبراهه اصلی.</p> <p>۱۰- مانر (۱۹۵۸) (۱۱)</p> $\text{Log SDR} = 2.94259 + 0.82362 \text{ Log}(R/L)$	$SDR = 43.4 A^{-0.1753}$ (۴)
<p>SDR: نسبت تحویل رسوب، R: اختلاف ارتفاع بین بلندترین و کم ارتفاع‌ترین نقاط حوزه آبخیز بر حسب متر، L: طول حوزه آبخیز بر حسب متر.</p> <p>۱۱- روئل (۱۹۶۲)</p>	<p>SDR: نسبت تحویل رسوب، A: مساحت حوزه آبخیز بر حسب کیلومتر مربع.</p>
<p>(۱۲)</p>	<p>۴- USDA (۱۹۷۵)</p>
<p>$\text{Log (SDR)} = 4.5 - 0.23 \text{ Log}(A) - 0.5125 \text{ Log}(R/L) - 2.788 \text{ Log(BR)}$</p> <p>A: مساحت حوزه آبخیز بر حسب مایل مربع، R/L: نسبت پستی و بلندی به طول حوزه آبخیز بر حسب مایل بر مایل، BR: نسبت دو شاخه شدن یا ضریب دو شاخه شدن شبکه آبراهه‌های حوزه آبخیز.</p> <p>۱۲- روئل ۲ (۱۹۶۲)</p>	$SDR = 0.5656 A^{-0.11}$ (۵)
<p>$SDR = 1862 A^{0.23} (R/L)^{-0.51} (B)^{-2.79}$ (۱۳)</p> <p>A: مساحت حوزه بر حسب مایل مربع، R: اختلاف ارتفاع حداقل و حداقل حوزه بر حسب متر، L: طول حوزه آبخیز بر حسب فوت، B: نسبت انشعابات.</p> <p>۱۳- مو و منگ (۱۹۸۰)</p>	<p>SDR: نسبت تحویل رسوب، A: مساحت حوزه آبخیز بر حسب کیلومتر مربع.</p>
<p>SDR= $1.29 + 1.37 \ln RC - 0.025 \ln A$ (۱۴)</p>	<p>۵- وانونی (۱۹۷۵)</p>
	<p>۶- سرویس حفاظت خاک آمریکا- SCS (۱۹۷۹)</p>
	$SDR = 0.51 A^{-0.11}$ (۷)
	<p>SDR: نسبت تحویل رسوب، A: مساحت حوزه آبخیز بر حسب مایل مربع.</p>
	<p>۷- لارنس (۱۹۹۶)</p>
	$SDR = A^{0.2}$ (۸)
	<p>SDR: نسبت تحویل رسوب، A: مساحت حوزه آبخیز بر حسب کیلومتر مربع.</p>
	<p>۸- بویس (۱۹۷۵)</p>
	$SDR = 0.3750 A^{-0.2382}$ (۹)

(۲۰۰۵) SWAT - ۱۸

$$SDR = (q_p/r_{ep}) \quad (۱۹)$$

q_p : حداکثر عمق رواناب سطحی بر حسب میلی‌متر بر ساعت، r_{ep} : مقدار بارش مازاد یا مساوی مقدار حداکثر بارش مؤثر بر حسب میلی‌متر بر ساعت.

۱۹- غلامی و همکاران (۱۳۸۸)

$$SDR = 0.033 \times Q^{0.15} \times q_p^{0.95} \times R^{-1.25} \quad (۲۰)$$

SDR: نسبت تحویل رسوب، **Q**: حجم رواناب بر حسب متر مکعب، q_p : دبی اوج رواناب بر حسب مترمکعب بر ثانیه، **R**: عامل فرسایندگی باران در معادله جهانی هدر رفت خاک:

$$A = R.K.L.S.C.P \quad (۲۱)$$

$$R = EI_{30}/100 \quad (۲۲)$$

R: عامل فرسایندگی باران و رواناب بر حسب تن در متر بر هکتار در سانتی‌متر بر ساعت، **E**: انرژی جنبشی رگبار بر حسب تن در متر بر هکتار، **I₃₀**: حداکثر شدت نیم ساعته رگبار بر حسب سانتی‌متر بر ساعت.

(۱۹۷۷) MUSLE - ۲۰

$$D = \frac{11.8(Q \times q_p)^{0.56}}{R \times A} \quad (۲۳)$$

D: نسبت تحویل رسوب، **Q**: حجم رواناب بر حسب متر مکعب، q_p : دبی اوج رواناب بر حسب مترمکعب بر ثانیه، **R**: عامل فرسایندگی باران و رواناب، **A**: مساحت حوزه بر حسب هکتار.

ت- روش‌های مبتنی بر ویژگی‌های خاک حوزه آبخیز و هیدرولیک رسوب:

(۱۹۸۳) - والینگ ۲۱

$$SDR = C_{soil}/C_{sed} \quad (۲۴)$$

A: مساحت حوزه آبخیز بر حسب کیلومتر مربع، **RC**: تراکم شبکه آبراهه بویژه تراکم شیارها و خندق‌ها در حوزه آبخیز بر حسب کیلومتر بر کیلومتر مربع.

(۱۹۸۸) EPM - ۱۴

$$SDR = \frac{4\sqrt{P \times D}}{L + 10} \quad (۱۵)$$

P: محیط حوزه بر حسب کیلومتر، **D**: اختلاف ارتفاع حوزه که عبارت است از اختلاف ارتفاع متوسط حوزه با ارتفاع نقطه خروجی حوزه بر حسب متر، **L**: بزرگترین طول حوزه آبخیز بر حسب کیلومتر. پ- روش‌های مبتنی بر مساحت و ویژگی‌های فیزیوگرافی و هیدرولوژی حوزه آبخیز:

۱۵- ماتخلر و بوئی (۱۹۷۵)

$$SDR = 0.488 - 0.006 A + 0.01 RO \quad (۱۶)$$

A: مساحت آبخیز بر حسب مایل مربع، **RO**: متوسط ارتفاع رواناب سالانه بر حسب اینچ.

۱۶- ویلیامز (۱۹۷۷)

$$SDR = 1.366 \times 10^{-12} (A)^{-0.0998} (R/L)^{0.362} (CN)^{5.44} \quad (۱۷)$$

SDR: نسبت تحویل رسوب، **A**: مساحت حوزه آبخیز بر حسب مایل مربع، **R/L**: نسبت پستی و بلندی به طول آبخیز بر حسب مایل بر مایل، **CN**: شماره منحنی.

(۱۹۹۶) SWAT - ۱۷

$$SDR = [(q_p/r_p)/(0.782845 + 0.217155 Q/R)]^{0.56} \quad (۱۸)$$

q_p : دبی اوج رواناب بر حسب میلی‌متر بر ساعت، r_p : اوج بارندگی بر حسب میلی‌متر بر ساعت، **Q**: مقدار رواناب بر حسب میلی‌متر، **R**: مقدار بارندگی برای یک رگبار بر حسب میلی‌متر.

Z : ضریب رسوب‌دهی، X : فاصله منبع تولید رسوب تا مسیر آبراهه اصلی انتقال رسوب بر حسب کیلومتر، y : شبیه مربوط به پهنه هر یک از منابع تولید رسوب $.(y>0 \text{ و } x>0)$

C_{soil} : درصد رس موجود در خاک حوزه آبخیز، C_{sed} : درصد رس موجود در رسوب تولیدی.

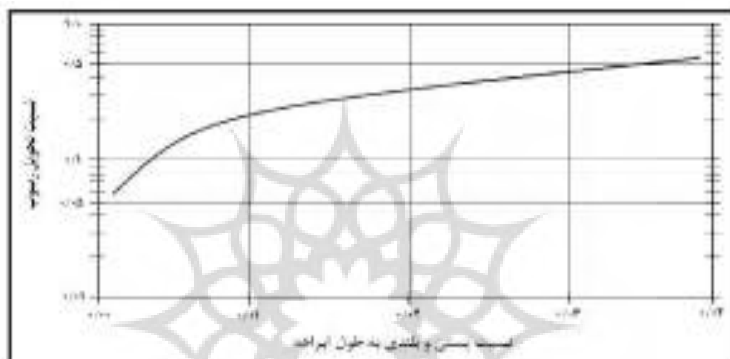
۲۲- سوایف و لیود (۲۰۰۲)

(۲۵)

$$Z=0.9004-0.134(\ln x)-0.0465(\ln x)^2-0.00749(\ln x)^3-0.0399(\ln y)+0.0144(\ln y)^2+0.00308(\ln y)^3$$

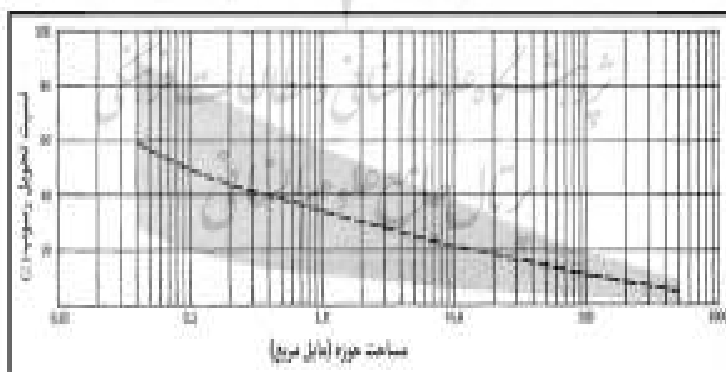
ث- روش‌های گرافیکی برآورده نسبت تحویل رسوب:

۲۳- روش گرافیکی رنفرو (۱۹۷۵)



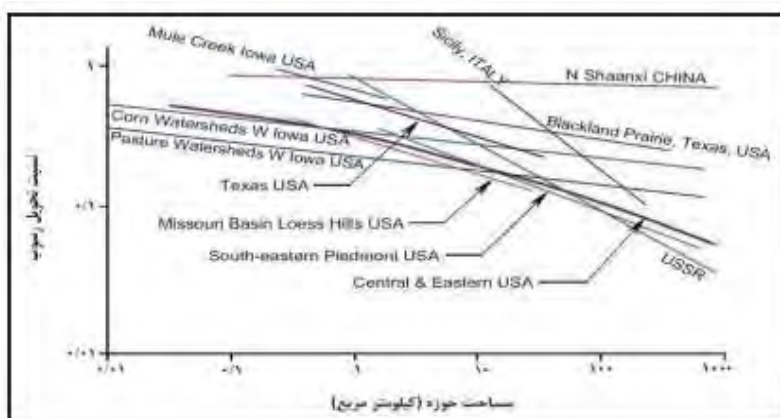
شکل ۲- برآورده نسبت تحویل رسوب بر اساس نسبت پستی و بلندی به طول آبراهه (Renfro, 1975)

۲۴- روش گرافیکی USDA-SCS (۱۹۸۱)



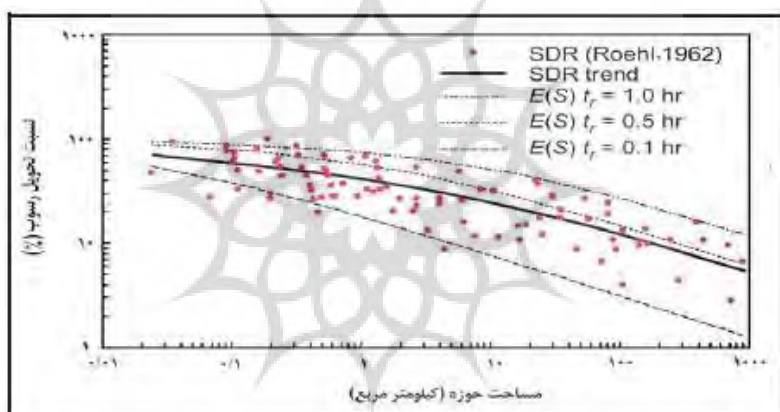
شکل ۳- برآورده نسبت تحویل رسوب بر اساس مساحت حوزه بر حسب مایل مربع (USDA-SCS, 1981)

۲۵-۳۵- روش گرافیکی والینگ (۱۹۸۳) و فرو و میناکاپیلی (۱۹۹۵)



شکل ۴- برآورد نسبت تحویل رسوب بر اساس مساحت حوزه بر حسب کیلومترمربع در ایالات متحده امریکا، اروپا و آسیا

۳۶-۳۹- روش گرافیکی روئل (1962)



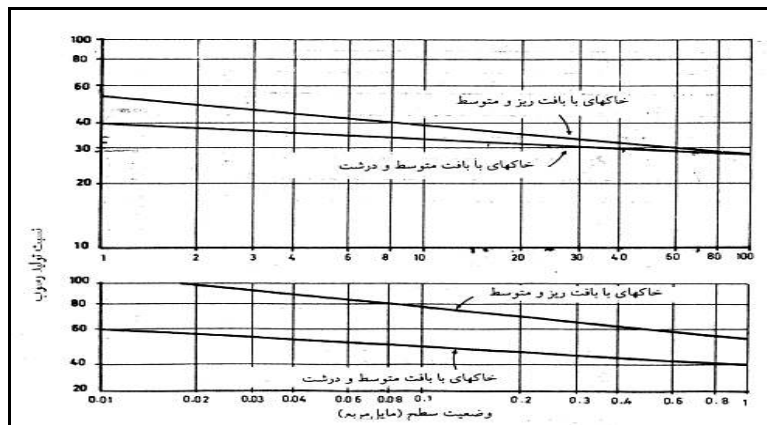
شکل ۵- برآورد نسبت تحویل رسوب بر اساس مساحت حوزه بر حسب کیلومترمربع و بارش مازاد (Roehl, 1962)

۴۰-۴۳- روش گرافیکی جانسون (1977)



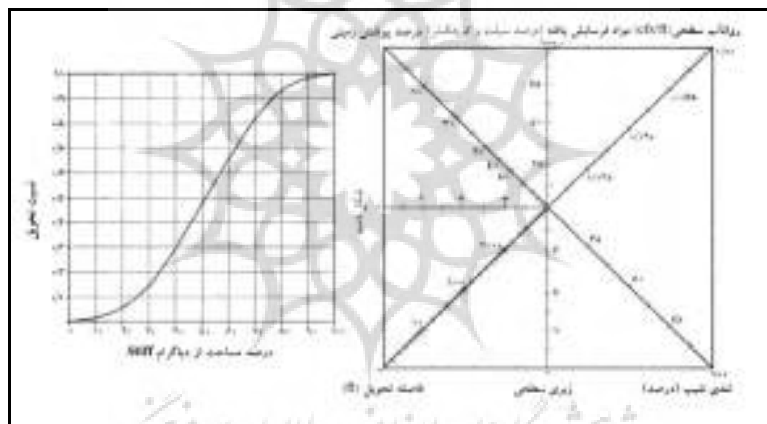
شکل ۶- برآورد نسبت تحویل رسوب بر اساس سطح زهکشی بر حسب ایکر (Johnson, 1977)

(۴۴) روش گرافیکی مبتنی بر سطح و بافت خاک حوزه (رفاهی، ۱۳۸۵)



شکل ۷- برآورده نسبت تحویل رسوب بر اساس سطح (مایل مربع) و بافت خاک حوزه (رفاهی، ۱۳۸۵)

(۴۵) روش گرافیکی سرویس جنگل امریکا (Haan, et al., 1994)



شکل ۸- دیاگرام تعیین مساحت پلی گون برای برآورده نسبت تحویل رسوب (راست) و دیاگرام برآورده میزان SDR (چپ)

$$\frac{|Q_0 - Q_e|}{Q_0} * 100 = \text{اختلاف نسبی} \quad (26)$$

Q₀: مقادیر مشاهده‌ای، Q_e: مقادیر برآورده‌ی.

نتایج

در مطالعه حاضر، ابتدا با استفاده از رسوب مشاهده‌ای در ایستگاه‌های واقع در خروجی هریک از حوزه‌های آبخیز مورد مطالعه و فرسایش برآورده در هر حوزه، یک میزان شاخص SDR اندازه‌گیری و تعیین گردید.

ارزیابی روش‌های برآورده نسبت تحویل رسوب

در این تحقیق، از روش اختلاف نسبی جهت مقایسه و ارزیابی نتایج حاصل از ۴۵ روش برآورده SDR با مقادیر شاخص و اندازه‌گیری شده SDR در هر حوزه استفاده گردید. اختلاف نسبی بین مقادیر برآورده و اندازه‌گیری به صورت رابطه ۲۶ که در زیر به آن اشاره شده است، بدست می‌آید:

تولیدی در هر حوزه برآورده شده و در جدول ۵ ارائه گردیده است. در نهایت، اختلاف نسبی بین نسبت تحویل رسوب برآورده شده و اندازه‌گیری شده محاسبه و در جدول ۶ نشان داده شده است.

که نتایج حاصل در جدول ۳ نشان داده شده است. سپس ۴۵ روش مختلف برآورده نسبت تحویل رسوب در ۵ گروه متفاوت، برای هر حوزه اجرا گردید که نتایج آن در جدول ۴ ارائه شده است. همچنین با استفاده از مقادیر **SDR** برآورده شده، میزان رسوب

جدول ۳- مقادیر رسوب، فرسایش و SDR اندازه‌گیری شده در حوزه‌های مورد مطالعه

حوزه مورد مطالعه	رسوب مورد مطالعه (ton/year)	رسوب مشاهده‌ای (ton/year)	فرسایش برآورده (ton/year)	SDR اندازه‌گیری	طول حوزه (m)	تراکم آبراهه (km/km ²)	نسبت انشعاب
حوزه آبخیز بابلرود	۷۱۰۲۵/۹۱۸	۲۱۰۶۰/۹۰۴	۰/۳۳۷	۳۶۵۲۰	۲/۱۳۹	۲/۱۹۸	
حوزه آبخیز بنادر سادات	۶۹۶۰۰/۲۹۸	۸۵۶۴۸/۱۰۷	۰/۸۱۳	۱۱۸۱۰	۱/۷۲	۹/۷۲	
حوزه آبخیز دهگلان	۱۰۵۱۸/۴۰۴	۴۸۴۹۵/۴۲۵	۰/۲۱۷	۲۷۴۴۰	۵/۰۱۷	۱/۹۰	

جدول ۴- مقادیر SDR برآورده شده با استفاده از روش‌های مختلف بکار رفته در سه حوزه مورد مطالعه

روش‌های مورد استفاده	حوزه آبخیز بابلرود	حوزه آبخیز بنادر سادات	حوزه آبخیز دهگلان
روش‌های مبتنی بر مساحت	مقدار اندازه‌گیری شده	۰/۳۳۷	۰/۲۱۷
	روش رنفو (۱۹۷۵)	۰/۰۶۸	۰/۱۹۹
	روش ونانی (۱۹۷۵)	۰/۲۱۷	۰/۲۴۱
	روش ونانی ۲ (۱۹۷۵)	۰/۱۷	۰/۱۹۹
	روش USDA	۰/۲۸۴	۰/۳۱۲
	روش ونانی (۱۹۷۵)	۰/۲۱۶	۰/۲۴
	روش سرویس حفاظت خاک (SCS) (۱۹۷۹)	۰/۲۸۵	۰/۳۱۳
	روش لارنس (۱۹۹۶)	۰/۰۲۵	۰/۰۲۹
	روش بویس (۱۹۷۵)	۰/۰۸۵	۰/۱۰۴
	روش ویلیامز و برنت (۱۹۷۲)	۰/۰۱۵	۰/۰۱۷
روش‌های مبتنی بر وزنگاه‌های زئومورفوبلوژی	روش مانر (۱۹۵۸)	۰/۰۱۶	۰/۰۹۶
	روش روتل (۱۹۶۲)	۰/۰۳۹	۰/۰۴۱
	روش روتل ۲ (۱۹۶۲)	۰/۰۵۷	۰/۰۹۶
	روش مو و منگ (۱۹۸۰)	۰/۰۲۲	۰/۱۹۹
	روش EPM (۱۹۸۸)	۰/۳۷۹	۰/۳۱۲
	روش ماتخیر و پونی (۱۹۷۵)	۰/۰۳۷	۰/۰۱۴
	روش ویلیامز (۱۹۷۷)	۰/۰۰۴	۰/۰۱۷
	روش SWAT (۱۹۹۶)	۰/۱۲۲	۰/۰۲۹
	روش SWAT (۲۰۰۵)	۰/۰۳۲	۰/۰۲۵
	MUSLE	۰/۰۱۹	۰/۰۰۲
روش‌های مبتنی بر مساحت و وزنگاه‌های فیزیوگرافی و هیدرولوژی	روش غلامی و همکاران (۱۳۸۸)	۰/۰۵۲	۰/۰۰۱
	روش والینگ (۱۹۸۳)	۰/۰۱۳	۰/۰۱۳
	روش سایف و لیود (۲۰۰۲)	۰/۳۴۸	۰/۸۸۳
	روش گرافیکی رنفو (۱۹۷۵)	۰/۳۴۵	۰/۴۵
	-	-	-

۰/۱۴	۰/۲	۰/۰۹۵	روش گرافیکی USDA-SCS (۱۹۸۱)
۰/۰۹	۰/۳۲	۰/۰۷۳	USSR
۰/۲	۰/۲۷	۰/۰۸۷	Central & Eastern USA
۰/۱	۰/۲۵	۰/۰۷۸	South-eastern Piedmont USA
۰/۰۹۸	۰/۲۲	۰/۰۸۱	Missouri Basin Loess Hills USA
۰/۳	۰/۳۸	۰/۱۲	Texas USA
۰/۲۸	۰/۲۶	۰/۱۲۵	Pasture Watersheds W Iowa USA
۰/۴۱	۰/۴	۰/۱۳۴	Corn Watersheds W Iowa USA
۰/۳۸	۰/۵	۰/۱۳۲	Mule Creek Iowa USA
۰/۱۵	۰/۷۵	۰/۰۹	Sicily, ITALY
۰/۸۵	۰/۹۴	۰/۸۹	N Shaanxi CHINA
۰/۵	۰/۵۵	۰/۱۴۲	Blackland Prairie, Texas, USA
۰/۰۲۸	۰/۴۵	۰/۱۸	۰.1 hr
۰/۱۶	۰/۱۰۸	۰/۱	0.5 hr
۰/۳	۰/۱۲۵	۰/۲	1 hr
۰/۱۴	۰/۱۰۶	۰/۰۷	روش گرافیکی روئل (۱۹۶۲)
۰/۲۸	۰/۰۳۳	-	روش گرافیکی میتنی بر سطح و بافت خاک - رفاهی (۱۳۸۵)
-	۰/۰۶۵	-	1
-	۰/۲۷۳	-	2
-	۰/۱۳۵	-	3
-	۰/۰۴	-	4
۰/۰۵	۰/۱	۰/۰۴	روش گرافیکی سرویس جنگل امریکا (۱۹۹۴)

جدول ۵- مقادیر رسوب برآورده شده (تن در سال) بر اساس مدل EPM و روش‌های مختلف برآورد SDR

روش‌های مورد استفاده	حوزه آبخیز دهگلان	حوزه آبخیز بابلرود	حوزه آبخیز بنادرک سادات
مقدار اندازه‌گیری شده	۱۰۵۱۸/۴۰۴	۷۹۶۰۰/۲۹۸	۷۱۰۲۵/۹۱۸
روش رنفو (۱۹۷۵)	۴۶۵۰/۵۶۱	۱۷۰۴۳/۹۷۳	۱۴۳۲۱/۲۶۹
روش و نانی (۱۹۷۵)	۱۱۶۷۸/۸۲۵	۲۵۶۰۳/۸۰۵	۴۵۶۲۱/۷۴۸
روش و نانی (۱۹۷۵)	۹۶۵۰/۵۸۹	۳۲۳۴۵/۹۳۳	۳۵۸۰۳/۱۷۴
روش USDA (۱۹۷۵)	۱۵۱۴۱/۹۷۱	۲۵۵۶۷/۲۴۸	۵۹۹۰۶/۶۳۸
روش و اتونی (۱۹۷۵)	۱۱۶۶۲/۶۵۱	۲۲۰۳۹/۳۴۱	۴۰۰۵۸/۵۰۴
روش سرویس حفاظت خاک (SCS) (۱۹۷۹)	۱۵۱۶۰/۲۴۳	۳۲۳۸۵/۰۷۵	۵۹۹۷۸/۹۴۲
روش لارنس (۱۹۹۶)	۱۴۰۷/۳۶۷	۱۷۹۸/۶۱	۷۳۷۱/۲۴۲
روش بویس (۱۹۷۵)	۵۰۲۳/۲۴۸	۱۳۳۹۴/۰۵۶	۱۷۸۲۷/۹۰۹
روش ویلیامز و برنت (۱۹۷۲)	۶۷۸/۹۳۶	۱۰۲۷/۷۷۷	۳۱۵۹/۱۰۴
روش مانز (۱۹۵۸)	۸۲۴/۶۲۲	۱۶۲۷/۳۱۴	۳۳۶۹/۷۱۵
روش روئل (۱۹۶۲)	۱۹۳۹/۸۱۷	۱۷۹۸/۱۰۳	۸۲۱۳/۶۷۹
روش روئل (۱۹۶۲)	۴۰۰۰/۸۷۲۶	۶۳۶۲۵/۳۴۱	۱۱۹۴۱۴/۱۱۵
روش مو و مگ (۱۹۸۰)	۱۶۴۸/۸۴۵	۱۶۲۷/۳۱۴	۴۶۳۳/۳۵۲
روش EPM (۱۹۸۸)	۹۲۱۴/۱۳۱	۲۹۷۱۹/۸۹۳	۷۹۸۲۰/۰۱۷
روش ماتخلو و بوئی (۱۹۷۵)	۶۱۸/۷۴۲	۳۳۸۹۷/۵۶۷	۱۱۳۰۹۵/۹۰۷
روش ویلیامز (۱۹۷۷)	۴۰۲/۰۳۱	۷۵۶/۲۲۶	۹۴۳/۲۰۱
روش SWAT (۱۹۹۶)	۱۱۰۲۸/۳۵۸	۶۸۴۹/۴۰۵	۲۵۶۲۰/۳۸۹

۱۵۷۷۷/۸۷۸	۲۲۷۱۱/۰۰۲	۷۶۱۴۳/۰۵۷	روش SWAT (۲۰۰۵)	فیزیوگرافی و هیدرولوژی
۱۱/۱۸۱	۲۵۳۶/۸۸۸	۳۹۹۴/۷۴۹	روش MUSLE	
۶۷۰۱۲	۱۲۰/۶۲۵	۱۱۰۴۱/۵۱۹	روش غلامی و همکاران (۱۳۸۸)	روش‌های مبتنی بر ویژگی‌های خاک و رسوب
۶۳۰/۴۴۱	۹۴۲/۱۲۹	۲۷۳۷/۸۸۹	روش والینگ (۱۹۸۳)	
۴۲۸۲۹/۲۹۹	۶۴۸۱۷/۱۲۱	۷۳۳۹۳/۰۸۹	روش سوابیف و لیود (۲۰۰۲)	روش‌های مبتنی بر فرو و میناکاپیابی (۱۹۹۵)
۲۱۸۲۲/۹۴۱	-	۷۲۶۵۹/۳۸۲	روش گرافیکی رنفو (۱۹۷۵)	
۶۷۸۹/۳۵۹	۱۷۱۲۹/۶۲۱	۲۰۰۰۷/۶۵۶	روش گرافیکی USDA-SCS (۱۹۸۱)	روش گرافیکی والینگ (۱۹۸۳) و فرو و میناکاپیابی (۱۹۹۵)
۴۳۶۴/۰۸۸	۲۷۴۰۷/۳۹۴	۱۵۳۷۴/۳۰۴	USSR	
۹۶۹۹/۰۸۵	۲۳۱۲۴/۹۸۹	۱۸۳۲۲/۸۰۱	Central & Eastern USA	روش گرافیکی والینگ (۱۹۸۳) و فرو و میناکاپیابی (۱۹۹۵)
۴۸۴۹/۵۴۳	۲۱۴۱۲/۰۲۷	۱۶۴۲۷/۳۳۹	South-eastern Piedmont USA	
۴۷۵۲/۵۵۲	۱۸۸۴۷/۵۸۴	۱۷۰۵۹/۱۵۹	Missouri Basin Loess Hills USA	بارش مازاد (روتل، ۱۹۶۲)
۱۴۵۴۸/۶۲۸	۳۲۵۴۶/۷۸۱	۲۵۲۷۲/۸۲۹	Texas USA	
۱۳۵۷۸/۷۱۹	۲۲۲۶۸/۵۰۸	۲۶۳۲۵/۸۶۳	Pasture Watersheds W Iowa USA	روش گرافیکی روتل (۱۹۶۲)
۱۹۳۹۸/۱۷	۳۴۲۵۹/۲۴۳	۲۸۲۲۱/۳۲۵	Corn Watersheds W Iowa USA	
۱۸۴۲۸/۲۶۲	۴۲۸۲۴/۰۵۴	۲۷۸۰۰/۱۱۱	Mule Creek Iowa USA	روش گرافیکی مبتنی بر سطح و بافت خاک - رفاهی (۱۳۸۵)
۷۲۷۴/۳۱۴	۵۵۷۶۱/۲۷۹	۱۸۹۵۴/۶۲۱	Sicily, ITALY	
۴۱۲۲۱/۱۱۱	۸۰۵۰۹/۲۲۱	۱۸۷۴۴/۰۱۵	N Shaanxi CHINA	روش گرافیکی سرویس جنگل امریکا (۱۹۹۴)
۲۴۲۴۷/۷۱۳	۴۷۱۰۶/۴۰۹	۲۹۹۰۷/۱۸	Blackland Prairie, Texas, USA	
۱۳۵۷/۸۷۲	۳۸۵۴۱/۶۴۸	۳۷۹۰۹/۲۴۳	0.1 hr	روش گرافیکی جانسون (۱۹۷۷)
۷۷۵۹/۲۶۸	۹۲۴۹/۹۹۶	۲۱۰۶۰/۶۹	0.5 hr	
۱۴۵۴۸/۶۲۸	۱۰۷۰۶/۰۱۳	۴۲۱۲۱/۳۸۱	1 hr	روش گرافیکی روتل (۱۹۶۲)
۶۷۸۹/۳۵۹	۹۰۷۸/۷۹۹	۱۴۷۴۲/۴۸۳	روش گرافیکی مبتنی بر سطح و بافت خاک - رفاهی (۱۳۸۵)	
۱۳۵۷۸/۷۱۹	۲۸۲۶۳/۸۷۵	-	روش گرافیکی سرویس جنگل امریکا (۱۹۹۴)	
-	۴۸۳۹۱/۱۸	-	1	روش گرافیکی جانسون (۱۹۷۷)
-	۲۳۳۸۱/۹۳۳	-	2	
-	۱۱۵۶۷/۴۹۴	-	3	
-	۳۴۲۵۰/۹۲۴	-	4	
۲۴۲۴/۷۷۱	۸۵۶۴/۸۱۲	۸۴۲۴/۲۷۶	روش گرافیکی سرویس جنگل امریکا (۱۹۹۴)	

جدول ۶- اختلاف نسبی محاسبه شده بین SDR اندازه‌گیری (شاخص) و SDR برآورده در سه حوزه مورد مطالعه

روش‌های مورد استفاده	مقدار اندازه‌گیری شده	روزه آبخیز دهگلان	حوزه آبخیز بابلورود	حوزه آبخیز بنادک سادات
روش رنفو (۱۹۷۵)	روزه آبخیز و برنت (۱۹۷۲)	۵۵/۷۴	۷۵/۵۱	۷۹/۸۴
روش ونائی (۱۹۷۵)	روزه آبخیز و برنت (۱۹۷۲)	۱۱/۰۳	۶۳/۲۱	۳۵/۷۷
روش ونائی ۲ (۱۹۷۵)	روزه آبخیز و برنت (۱۹۷۲)	۸/۲۵	۵۳/۵۳	۴۹/۵۹
روش USDA (۱۹۷۵)	روزه آبخیز و برنت (۱۹۷۲)	۴۳/۹۶	۶۳/۲۶	۱۵/۶۶
روش وانوئی (۱۹۷۵)	روزه آبخیز و برنت (۱۹۷۲)	۱۰/۸۸	۶۷/۸۹	۳۵/۸۶
روش سرویس حفاظت خاک (SCS) (۱۹۷۹)	روزه آبخیز و برنت (۱۹۷۲)	۴۴/۱۳	۵۳/۴۷	۱۵/۵۵
روش لارنس (۱۹۹۶)	روزه آبخیز و برنت (۱۹۷۲)	۸۷/۶۳	۹۷/۴۲	۸۹/۶۲
روش بویس (۱۹۷۵)	روزه آبخیز و برنت (۱۹۷۲)	۵۲/۲۴	۸۰/۷۶	۷۴/۸۹
روش ویلیامز و برنت (۱۹۷۲)	روزه آبخیز و برنت (۱۹۷۲)	۹۳/۵۵	۹۸/۵۲	۹۵/۵۵
روش مانر (۱۹۵۸)	روزه آبخیز و برنت (۱۹۷۲)	۹۲/۱۶	۹۷/۶۶	۹۵/۲۶
روش روتل (۱۹۶۲)	روزه آبخیز و برنت (۱۹۷۲)	۸۱/۵۶	۹۷/۴۲	۸۸/۴۴

۹۹/۹۹	۸/۰۹	۶/۱۳	روش روئل ۲ (۱۹۶۲)	
۸۴/۳۲	۹۷/۶۶	۹۳/۴۸	روش مو و منگ (۱۹۸۰)	
۱۲/۳۹	۵۷/۲۹	۱۲/۳۸	روش EPM (۱۹۸۸)	
۹۴/۱۲	۴۷/۹۹	۵۹/۲۳	روش ماتخلر و بوئی (۱۹۷۵)	
۹۶/۱۷	۹۸/۹۲	۹۸/۶۷	روش ولیامز (۱۹۷۷)	
۴/۸۰	۹۰/۱۶	۶۳/۹۳	روشن SWAT (۱۹۹۶)	روش‌های مبتنی بر مساحت و ویژگی‌های فیزیوگرافی و هیدرولوژی
۵۰/۰۰	۶۵/۹۳	۷/۲۱	روشن SWAT (۲۰۰۵)	
۹۹/۸۹	۹۷/۳۶	۹۴/۳۸	MUSLE	
۹۹/۳۵	۹۹/۸۳	۸۴/۴۵	روشن غلامی و همکاران (۱۳۸۸)	
۹۴/۰۱	۹۸/۶۵	۹۶/۱۵	روشن والینگ (۱۹۸۳)	روش‌های مبتنی بر ویژگی‌های خاک و رسوب
۹۹/۹۹	۷/۸۷	۳/۳۳	روشن سوانف و لیود (۲۰۰۲)	
۹۹/۹۹	-	۲/۲۹	روشن گرافیکی رنفو (۱۹۷۵)	
۳۵/۴۵	۷۵/۳۹	۷۱/۸۳	روشن گرافیکی USDA-SCS (۱۹۸۱)	
۵۸/۰۱	۶۰/۶۲	۷۸/۳۵	USSR	
۷/۷۹	۶۶/۷۸	۷۴/۲	Central & Eastern USA	
۵۳/۸۹	۷۹/۲۴	۷۳/۸۷	South-eastern Piedmont USA	
۵۴/۸۲	۷۲/۹۳	۷۵/۹۸	Missouri Basin Loess Hills USA	روشن گرافیکی، والینگ (۱۹۸۳)
۳۸/۳۲	۵۳/۲۴	۶۴/۴۲	Texas USA	
۲۹/۰۹	۶۷/۰۱	۶۲/۹۳	Pasture Watersheds W Iowa USA	فره و میناکاپلی (۱۹۹۵)
۸۴/۴۲	۵۰/۷۸	۶۰/۲۷	Corn Watersheds W Iowa USA	
۷۵/۲	۳۸/۴۷	۶۰/۸۶	Mule Creek Iowa USA	
۳۰/۸۴	۲۰/۰۱	۷۳/۳۱	Sicily, ITALY	
۹۹/۹۹	۱۵/۶۷	۹۹/۹۹	N Shaanxi CHINA	
۹۹/۹۹	۳۲/۳۲	۵۷/۸۹	Blackland Prairie, Texas, USA	
۸۷/۰۹	۴۴/۶۲	۴۶/۶۳	0.1 hr	
۲۶/۲۳	۸۶/۷۱	۷۰/۳۵	0.5 hr	بارش مازاد (روئل، ۱۹۶۲)
۳۸/۳۲	۸۴/۶۲	۴۰/۶۹	1 hr	
۳۵/۴۵	۸۶/۹۶	۷۹/۲۴	روشن گرافیکی روئل (۱۹۶۲)	
۲۹/۰۹	۵۹/۳۹	-	روشن گرافیکی مبتنی بر سطح و بافت خاک - رفاهی (۱۳۸۵)	
-	۳۰/۴۷	-	1	
-	۶۷/۴۱	-	2	روشن گرافیکی جانسون (۱۹۷۷)
-	۸۳/۳۹	-	3	
-	۹۵/۰۸	-	4	
۷۶/۹۵	۸۷/۶۹	۸۸/۱۴	روشن گرافیکی سرویس جنگل امریکا (۱۹۹۴)	

مورد ارزیابی واقع شد. این ۵ گروه شامل روش‌های

مبتنی بر مساحت حوزه، روش‌های مبتنی بر ویژگی‌های

ژئومورفولوژی حوزه، روش‌های مبتنی بر مساحت و

بحث و نتیجه‌گیری

روشن‌های مورد استفاده در این تحقیق، شامل ۴۵

روشن برآورده نسبت تحويل رسوب، در ۵ گروه طبقه-

بندی شده و در ۳ نوع اقلیم متفاوت در ایران اجرا و

واقع در ایران مرکزی، روش‌های سوایف و لیود (۲۰۰۲)، روئل Shaanxi CHINA N با اختلاف نسبی به ترتیب $0.7/87\%$ ، $0.8/59\%$ و $0.15/67\%$ مناسب‌ترین روش‌ها در منطقه مورد نظر تشخیص داده شد و برای سایر مناطق با اقلیم گرم و خشک نیز می‌توانند پیشنهاد گردند. همچنین در حوزه آبخیز دهگلان (۱۹۹۶)، واقع در غرب کشور، روش‌های **SWAT** با اختلاف نسبی به ترتیب $0.4/85\%$ ، $0.7/79\%$ و $0.8/25\%$ مناسب‌های مناسب جهت برآورده نسبت تحويل رسوب در حوزه مورد مطالعه و مناطق با شرایط اقلیمی مشابه (نیمه خشک و سرد) می‌باشند.

بطور کلی، بر اساس نتایج بدست آمده، روش گرافیکی رنفو (۱۹۷۵) که نسبت پستی و بلندی به طول آبراهه (**R/L**) را در نظر می‌گیرد، با اختلاف نسبی $0.2/29\%$ در حوزه آبخیز بابلرود با اقلیم معتدل و مرطوب، روش سوایف و لیود (۲۰۰۲) که فاصله منبع تولید رسوب تا مسیر آبراهه اصلی و شیب مربوط به پهنه منابع تولید رسوب را بررسی می‌کند، با اختلاف نسبی $0.6/87\%$ در حوزه آبخیز بنادر سادات با اقلیم گرم و خشک و روش **SWAT** (۱۹۹۶) که دبی اوج رواناب، اوج بارندگی، مقدار رواناب و مقدار بارندگی برای هر رگبار را در نظر می‌گیرد، با اختلاف نسبی $0.4/85\%$ در حوزه آبخیز دهگلان با اقلیم نیمه خشک و

ویژگی‌های فیزیوگرافی و هیدرولوژی حوزه، روش‌های مبتنی بر ویژگی‌های خاک حوزه و هیدرولیک رسوب و روش‌های گرافیکی و ترسیمی است. نتایج کار از طریق مقایسه تطبیقی و محاسبه مقادیر اختلاف نسبی، ارزیابی شده و در نهایت برای هر نوع اقلیم و هر حوزه مورد مطالعه، روش‌های مناسب‌تر با حداقل اختلاف نسبی نسبت به مقدار **SDR** شاخص، تعیین و مشخص گردید. مقادیر **SDR** محاسبه شده توسط روش‌های مختلف در جدول ۴، مقادیر رسوب برآورده شده با استفاده از نتایج بدست آمده از روش‌های مذکور و فرسایش برآورده شده بر اساس مدل **EPM** در جدول ۵ و مقادیر اختلاف نسبی محاسبه شده بین مقدار اندازه-گیری شده و مقادیر برآورده در جدول ۶ نشان داده شده است.

نتایج نشان می‌دهد که در حوزه آبخیز بابلرود واقع در شمال کشور، روش گرافیکی رنفو (۱۹۷۵) با اختلاف نسبی $0.2/29\%$ ، روش سوایف و لیود (۲۰۰۲) با اختلاف نسبی $0.3/33\%$ و روش **SWAT** (۲۰۰۵) با اختلاف نسبی $0.7/21\%$ به ترتیب مناسب‌ترین روش‌های برآورده نسبت تحويل رسوب در حوزه مذکور هستند. به عبارتی در مناطق با اقلیم مشابه (معتدل و مرطوب) می‌توان استفاده از این روش‌ها را برای برآورده نسبت تحويل رسوب و در نهایت تبدیل فرسایش و رسوب به یکدیگر، پیشنهاد نمود. در حوزه آبخیز بنادر سادات

اقلیمی است. که این می‌تواند به دلیل پارامترها و ورودی‌های مدل شامل فاصله منبع تولید رسوب تا آبراهه اصلی و شیب پهنه منابع تولید رسوب باشد. این موضوع نشانگر این است که مدل سوایف و لیود به درستی ارتباط بین پارامترهای مؤثر در تحويل رسوب به آبراهه را لحاظ نموده است.

روش SWAT (۱۹۹۶ و ۲۰۰۵) نیز که روشی مبتنی بر رواناب است در حوزه‌های آبخیز بابلرود و دهگلان، نتایجی مشابه ارائه نموده و با اختلاف نسبی بسیار کم نسبت به میزان شاخص آن، به عنوان یکی از روش‌های مناسب برآورده SDR معرفی گردیده است. در اینجا نیز می‌توان به تأثیر مناسب رواناب و بارندگی در نسبت تحويل رسوب اشاره کرد که روش SWAT این دو عامل مؤثر را بخوبی در نظر گرفته است.

در نهایت، پیشنهاد می‌گردد که با تحقیقات بیشتر در زمینه SDR و در نظر گرفتن جمیع عوامل مؤثر در آن از قبیل ویژگی‌های ژئومورفولوژی، فیزیوگرافی و هیدرولوژی حوزه آبخیز، نسبت به ارائه مدل‌های با دقت و کارایی مناسب جهت برآورده SDR اقدام گردد.

منابع

ابراهیمی، ز.، ۱۳۸۵. ارزیابی و واسنجی چند مدل برآورده نسبت تحويل رسوب مطالعه موردی در حوزه آبخیز کورکورسر نوشهر، پایاننامه

سرد، مناسب‌ترین روش‌های برآورده نسبت تحويل رسوب در این تحقیق می‌باشند. که نتایج حاصل، با یافته‌های مانز (۱۹۵۸)، لو و همکاران (۲۰۰۶)، ابراهیمی (۱۳۸۵) و صابرهمیشگی (۱۳۸۵) مطابقت دارد. بعلاوه، کاربرد روش مناسب برآورده نسبت تحويل رسوب و لحاظ نمودن سایر عوامل مؤثر بر فرآیند فرسایش و تولید رسوب و تعیین نحوه ارتباط صحیح آنها با یکدیگر در تخمین مناسب مقدار فرسایش و رسوب در حوزه‌های آبخیز مورد مطالعه و سایر حوزه‌ها به عنوان پیشنهادی برگرفته از تحقیق حاضر تأکید می‌گردد. همچنین با توجه به نتایج حاصل، کارایی و دقیقیت مناسب روش‌های گرافیکی برآورده نسبت تحويل رسوب، بخصوص روش گرافیکی والینگ (۱۹۸۳) - فرو و میناکاپیلی (۱۹۹۵)، کاملاً محسوس بوده، که با توجه به سهولت اجرای آنها و نیاز به داده‌های بسیار ساده و قابل دسترسی، کاربرد و استفاده از این قبیل روش‌ها در حوزه‌های آبخیز و اقلیم مشابه پیشنهاد می‌گردد که با نتایج غلامی و همکاران (۱۳۸۷) مطابقت دارد. با توجه به نتایج بدست آمده از تحقیق حاضر، روش سوایف و لیود (۲۰۰۲) در دو حوزه آبخیز بابلرود و بنادر سادات، به عنوان روشی مناسب جهت برآورده نسبت تحويل رسوب تعیین و معرفی گردید که این بیانگر دقیق و کارایی بالای روش و همچنین انعطاف‌پذیری مناسب آن در شرایط متفاوت فیزیکی و

قشلاق استان کردستان، علوم و صنایع کشاورزی، ویژه آب و خاک، جلد ۲۲، شماره ۱.

صابر همیشگی، س.م.، ۱۳۸۵. ارزیابی چند مدل برآورد نسبت تحویل رسوب و انتخاب مناسب‌ترین مدل (مطالعه موردی: زیر آبخیز لوراک- لیتان)، پایان‌نامه کارشناسی ارشد، دانشکده کشاورزی، دانشگاه تربیت مدرس.

ضیائی، ح.ا. و ع. بهنیا، ۱۳۸۰. اصول مهندسی آبخیزداری، انتشارات دانشگاه امام رضا (ع) مشهد، ۵۴۸ ص.

غلامی، ل.، صادقی، س.ح.ر.، خالدی درویشان، ع.، ۱۳۸۷. مقایسه روش‌های برآورد نسبت تحویل رسوب متوسط با روش مستقیم در حوزه آبخیز چهل‌گزی سد قشلاق، چهارمین همایش ملی فرسایش و رسوب، دانشگاه تربیت مدرس.

۱۰- غلامی، ل.، صادقی، س.ح.ر.، خالدی درویشان، ع.، ۱۳۸۹. مدل‌سازی برآورد نسبت تحویل رسوب رگبار در حوزه آبخیز چهل‌گزی بر اساس ویژگی-های اقلیمی و هیدرولوژی، علوم کشاورزی و منابع طبیعی، جلد ۱۶، ۹(۲).

نورانی، س.ن.خ.، ۱۳۸۵. ارزیابی چهار روش برآورد نرخ تولید رسوب (SDR) به منظور انتخاب مناسب‌ترین روش (مطالعه موردی: حوزه آبخیز

کارشناسی ارشد، دانشگاه آزاد اسلامی واحد علوم و تحقیقات.

افسری، ر.، قدوسی، ج.، ۱۳۹۰. ارزیابی روش‌های مختلف تخمین نسبت تحویل رسوب (SDR) تحت شرایط آب و هوایی مختلف (مطالعه موردی: حوزه‌های آبخیز استان مرکزی)، فصلنامه جغرافیای طبیعی، سال چهارم، شماره ۱۲.

دستورانی، ج.، قلی نژاد، س.، سلاجقه، ع.، دستورانی، ق.، ۱۳۸۵. ارزیابی روش‌های مختلف برآورد نسبت تحویل رسوب در حوزه آبخیز زیارت، اولین همایش ملی- دانشجویی مرتع، آبخیز و بیابان، دانشگاه تهران.

رفاهی، ح.ق.، ۱۳۸۵. فرسایش آبی و کنترل آن، انتشارات دانشگاه تهران، چاپ چهارم، ۶۷۱ ص.

راشکی، ع.، ۱۳۸۵. بررسی کارایی تلفیق مدل‌های RUSLE و SEDD در برآورد توزیعی فرسایش و رسوب سالانه با استفاده از تکنیک زمین آمار و سیستم اطلاعات جغرافیایی (مطالعه موردی: حوزه آبخیز کهنوک خاش)، پایان‌نامه کارشناسی ارشد، دانشگاه علوم کشاورزی و منابع طبیعی گرگان، ۸۰ ص.

صادقی، س.ح.ر.، غلامی، ل.، خالدی درویشان، ع.، ۱۳۸۷. مقایسه روش‌های برآورد نسبت تحویل رسوب رگبار در حوزه آبخیز چهل‌گزی سد

- of watershed sediment yield. *Hydraul. Engng. Chinese Soc. Hydraul. Engng.*, Beijing, China.
- Mutua, B., and Klik, A. 2004. Development of a Physically Based Model for Estimation of Spatial Sediment Delivery Ratio for Large Remote Catchments. *J. Spatial Hydrology*, 5: 2. 1-15.
- Novotny, V., and Olem, H. 1994. Water Quality: Prevention, Identification, and Management of Diffuse Pollution. Van Nostrand Reinhold, New York, New York, Pp: 72-85.
- Renfro, G.W., 1975. User of Erosion Equation and Sediment Dlivery Ratio for Predicting Sediment Yield. In Present and Prospective Technology for Predicting Sediment Yield and Sources, Agricultural Resources Services, ARS-S-40, 33-45. US Dept. Agric., Washington, D.C.
- Roehl, J.W., 1962. Sediment Source Areas, Delivery Ratios and Influencing Morphological Land Resources, Oct. 1962. International Association. *Hydrologic Science Journal Publication*. pp 59.
- Ramos-Scharron, C.E., and MacDonald, L.H. 2007. Development and Application of a GIS-Based Sediment Budget Model, *J. Environ. Manag.* 84: 157-172.
- Rasheki, A. 2006. Study on Efficiency of RUSLE and SEDD Conjunction in Distribution Estimation of Erosion and Sediment by Using Geostatistics and GIS (Case Study: Kahnoor Watershed, Khash). M.Sc. Thesis in Watershed Management Engineering, University Gorgan of Agric. Sci. and Natur. Resour. 80p.
- USDA-SCS., 1972. Sediment sources, yields, and delivery ratios. National Engineering Handbook, Section 3 Sedimentation.
- USDA., 1975. Sediment Sources, Yields, and Delivery Ratios. National Engineering Handbook, Section 3 Sedimentation.
- USDA-SCS., 1981. United States Department of Agriculture- Soil Conservation Service Engineering Handbook, Section 3. Sedimentation.
- Vanani, J., .1975. Soil Erosion Prediction. New York in Irk P. 210.
- طالقان), پایاننامه کارشناسی ارشد، دانشگاه آزاد اسلامی واحد علوم و تحقیقات.
- Arnold, j. G., Williams, JR., Srinivasan, R. and Wking 1996. *The Soil and Water Assessment Tool (SWAT) User Manual*. Temple. Tx.
- Boyce, R.C., 1975. Sediment routing with sediment delivery ratios. Present and Prospective Technology for Predicting Sediment Yields and Sources USDA, ARS-S, 40: 61-66.
- Ferro, V. and Minacapillia, M., 1995. Sediment Delivery Processes at Basin Scale. *Hydrologic Science Journal* 40(6): 703-718.
- Ferro, V. and Porto, P., 2000. Sediment Delivery Distributed (SEDD) Model, *Journal of Hydrologic Engeering*, 5(4): 633-647.
- Fernandez, C., Wu, J.Q., McCool, D.K. and Stockle, C.O., 2003. Estimating Water Erosion and Sediment Yield with GIS, RUSLE and SEDD. *J. Soil Water Conservation*, 58, 128-136.
- Haan, C.T., Barfield, B.J. and Hayes, J.C., 1994. *Design Hydrology and Sedimentology for Small Catchments*, Academic Press, INC., 588p.
- Johnson, H.P., 1977. Estimated sediment delivery for Landform Regions, March. 1988, International Association. *Hydrologic Science Journal Publication*. pp 15.
- Kinnell, P.I.A., 2006. Alternative Approaches for Determining the USLE-M Slope Length Factor for Grid Cells. *Soil Science Society of American Journal*. 605-1315.
- Lu, H., Moran, C.J., Prosser, I. and Sivapalan, M., 2003. Modelling Sediment Delivery Ratio based on Physical Principles. *Environmental Modelling & Software*, 35: 36-56.
- Lu, H., Moran, C.J. and Prosser, I., 2006. Modelling Sediment Delivery Ratio over the Murray Darling Basin. *Environmental Modelling & Software*, 21:1297-1308.
- Maner, S.B., 1958. Factors Affecting Sediment Delivery Rates in the Red Hills Physiographic Area, *Transaction of American Geophysics*, 39: 669-675.
- Mou, J., & Meng, Q., 1980. Sediment delivery ratio as used in the computation

- Vanoni, V.A., 1975. Sedimentation Engineering, Manual and Report No. 54. American Society of Civil Engineers, New York, N.Y.
- 35- Williams, J.R. and Brendet, A.D., 1972. Sediment Yield Computed with the Universal Equation. Proceeding of the American Society of Civil Engineers, 98(HY12), pp. 2087-2098.
- Walling, D.E., 1983. the Sediment Delivery Problem, Journal of Hydrology, 65: 209-237.
- Williams, J.R., 1977. Sediment Delivery Ratios Determined with Sediment and Runoff Models. Proceedings Symposium on Erosion and Solid Matter Transport in Inland Water. Int l. Assoc. Hydrological Science. No. 122, pp. 168-179



